

## 2 Formulação

Considera-se uma treliça espacial de forma piramidal com  $n$  barras iguais, com  $n \geq 3$ , dispostas conforme ilustra a Figura 5. Na configuração inicial indeformada, a altura da pirâmide é dada por  $H$  e o raio do círculo que circunscribe os pontos da base é dado por  $B$ . O nó central encontra-se no topo e as  $n$  barras que definem os lados da pirâmide são igualmente espaçadas de modo que os nós da base formem um polígono regular de  $n$  vértices circunscritos pelo círculo de raio  $B$ .

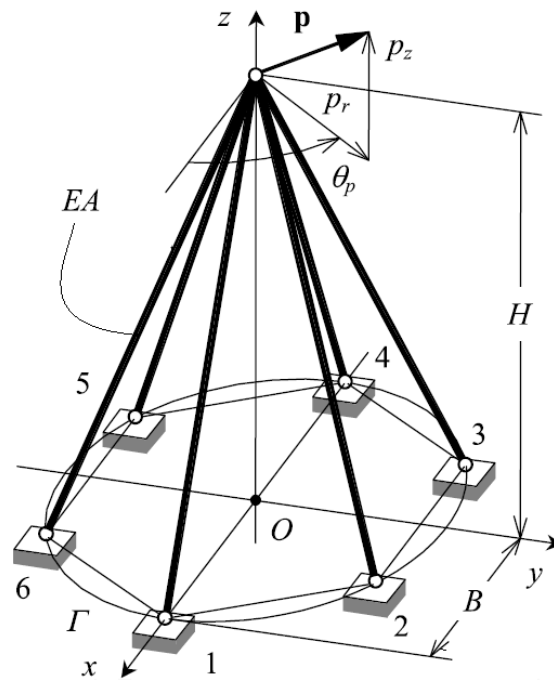


Figura 5 – Treliça piramidal com  $n$  barras na configuração indeformada.

Assim, o comprimento de cada barra da treliça é:

$$L = \sqrt{H^2 + B^2}. \quad (2.1)$$

Admite-se que o nó superior esteja sujeito a uma carga de intensidade  $\lambda \mathbf{q}$ , onde  $\lambda$  é um fator de carga que multiplica um vetor de carga de referência  $\mathbf{q}$ , a saber:

$$\mathbf{P} = \lambda \mathbf{q} = \lambda [p_x, p_y, p_z]^T = \lambda [p_r \cos \theta_p, p_r \sin \theta_p, p_z]^T, \quad (2.2)$$

onde  $T$  representa transposto.

Por definição, na treliça em questão, o nó superior encontra-se livre para deslocar e os nós localizados na base estão fixos, ou seja, suas posições permanecem as mesmas após a aplicação do carregamento, conforme mostra a Figura 6.

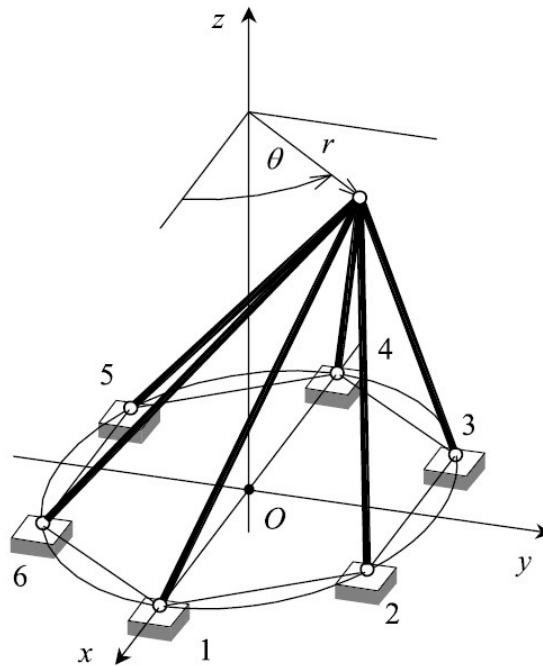


Figura 6 – Treliça piramidal com  $n$  barras na configuração deformada.

Na presente formulação é considerado o sistema de coordenadas Cartesiano  $\{O, x, y, z\}$ , assim como um sistema de coordenadas cilíndrico  $\{O, r, \theta, z\}$ , os quais estão relacionados por:

$$[r, \theta, z]^T = [\sqrt{x^2 + y^2}, \arctan(y/x), z]^T. \quad (2.3)$$

Desta forma, na configuração indeformada da treliça, tem-se para o nó superior as seguintes coordenadas:

$$\mathbf{X}_s = [X, Y, Z]^T = [0, 0, H]^T. \quad (2.4)$$

Já para os nós da base, na configuração indeformada da treliça, as coordenadas são dadas por:

$$\mathbf{X}_i = [X_i, Y_i, Z_i]^T = [B \cos \theta_i, B \sin \theta_i, 0]^T, \quad i = 1, 2, \dots, n, \quad (2.5)$$

onde:

$$\theta_i = 2\pi \frac{i-1}{n}, \quad i = 1, 2, \dots, n. \quad (2.6)$$

Após a aplicação da carga no nó superior, analisando a configuração deformada da treliça, Figura 6, tem-se que os nós da base, por estarem fixos, permanecem com as mesmas coordenadas, ou seja:

$$\mathbf{x}_i = \mathbf{X}_i, i = 1, 2, \dots, n. \quad (2.7)$$

Já o nó superior, este livre para deslocar, assume a seguinte posição:

$$\mathbf{x}_s = [x, y, z]^T = [r \cos \theta, r \sin \theta, z]^T = \mathbf{X}_s + \mathbf{u}. \quad (2.8)$$

Com isso, tem-se, pela diferença entre as posições final e inicial do nó superior, o vetor deslocamento:

$$\mathbf{u} = [u, v, w]^T = \mathbf{x}_s - \mathbf{X}_s = [r \cos \theta, r \sin \theta, z - H]^T. \quad (2.9)$$

As coordenadas cilíndricas  $r$ ,  $\theta$  e  $z$  são, aqui, tomadas como as coordenadas Lagrangianas do sistema.

Como medida de deformação e tensão nas barras, adota-se, para facilitar a análise, o tensor de Green-Lagrange e o segundo tensor de Piola-Kirchhoff para as tensões. Portanto, a deformação específica axial de cada barra é dada por:

$$\varepsilon_i = \frac{l_i^2 - L^2}{L^2}, i = 1, 2, \dots, n, \quad (2.10)$$

onde  $l_i$ , comprimento final da barra, é dado por:

$$l_i^2 = (\mathbf{x}_s - \mathbf{x}_i)^T (\mathbf{x}_s - \mathbf{x}_i) = r^2 - 2rB \cos(\theta - \theta_i) + B^2 + z^2, i = 1, 2, \dots, n. \quad (2.11)$$

Assim, considerando-se que o material da barra é elástico e linear, tem-se que a tensão normal é:

$$\sigma_i = E \varepsilon_i, i = 1, 2, \dots, n, \quad (2.12)$$

e a energia interna de deformação é:

$$W_i = \frac{1}{2} E A L \varepsilon_i^2, i = 1, 2, \dots, n. \quad (2.13)$$

A energia interna de deformação do sistema é obtida através da soma das contribuições de cada barra da treliça. Então, considerando-se que todas as barras tem a mesma rigidez de membrana  $EA$ , tem-se:

$$\begin{aligned} W(r, \theta, z) &= \sum_{i=1}^n W_i = \frac{1}{2} E A L \sum_{i=1}^n \varepsilon_i^2 = \frac{nEA}{8L^3} [(r^2 + z^2 - H^2)^2 + 2B^2 r^2] \\ &= W(r, z). \end{aligned} \quad (2.14)$$

Observa-se que a Eq. (2.14) independe de  $\theta$ . Isto se deve à simetria da estrutura.

Já a energia potencial gravitacional devida ao carregamento é dada por:

$$V(\lambda; r, \theta, z) = -\lambda \mathbf{q}^T \mathbf{u} = -\lambda(p_x r \cos \theta + p_y r \sin \theta + p_z z) + \lambda p_z H. \quad (2.15)$$

Assim, com as parcelas de energia interna de deformação e do carregamento tem-se a energia potencial total da treliça:

$$\Pi(\lambda; r, \theta, z) = W(r, \theta, z) + V(\lambda; r, \theta, z). \quad (2.16)$$

Considerando, agora, que cada barra da treliça tem uma massa total  $m$  e que esta massa está concentrada nos nós da treliça ( $m/2$  em cada nó), tem-se que a massa total correspondente ao nó superior é igual a  $(nm/2)$ . Portanto, a contribuição das barras da treliça para energia cinética do sistema é:

$$T = \frac{nm}{4} (\dot{x}^2 + \dot{y}^2 + \dot{z}^2), \quad (2.17)$$

onde:

$$\dot{x} = \dot{r} \cos \theta - r \sin \theta \dot{\theta}, \dot{y} = \dot{r} \sin \theta + r \cos \theta \dot{\theta}, \dot{z} = \dot{z}, \quad (2.18)$$

obtendo-se:

$$T = \frac{nm}{4} \left[ (\dot{r} \cos \theta - r \sin \theta \dot{\theta})^2 + (\dot{r} \sin \theta + r \cos \theta \dot{\theta})^2 + \dot{z}^2 \right], \quad (2.19)$$

$$T = \frac{nm}{4} (\dot{r}^2 + r^2 \dot{\theta}^2 + \dot{z}^2). \quad (2.20)$$

Enfim, em posse das parcelas de energia potencial total e energia cinética, é possível escrever as equações de movimento para as três direções do sistema cilíndrico. A seguir apresenta-se o processo de obtenção e adimensionalização das equações nas direções  $r$ ,  $\theta$  e  $z$ .

## 2.1 Equações de movimento

As equações de movimento em termos da coordenada generalizada  $q_i$  são obtidas através da seguinte equação diferencial:

$$\frac{d}{dt} \frac{\partial(T)}{\partial \dot{q}_i} - \frac{\partial(T)}{\partial q_i} + \frac{\partial(\Pi)}{\partial q_i} = Q. \quad (2.21)$$

Derivando os termos da equação em relação à coordenada  $r$ , tem-se:

$$\frac{nm}{2} (\ddot{r} - r\dot{\theta}^2) + \frac{nEA}{2L^3} r(r^2 + z^2 - H^2 + B^2) - \lambda p_r \cos(\theta - \theta_p) = Q. \quad (2.22)$$

Derivando os termos da equação em relação à coordenada  $\theta$ , tem-se:

$$\frac{nm}{2} (2r\dot{r}\dot{\theta} + r^2\ddot{\theta}) + r\lambda p_r \sin(\theta - \theta_p) = Q. \quad (2.23)$$

Por fim, derivando os termos da equação em relação à coordenada  $z$ , tem-se:

$$\frac{nm}{2} \ddot{z} + \frac{nEA}{2L^3} z(r^2 + z^2 - H^2) - \lambda p_z = Q. \quad (2.24)$$

Adotando-se os seguintes parâmetros adimensionais:

$$\bar{z} = z/H, \bar{r} = r/H, \delta = B/H, \omega_0^2 = \frac{EAH^2}{mL^3}, \tau = \omega_0 t, \bar{P}_r = \frac{2\lambda p_r}{\omega_0^2 H n m},$$

$$\bar{Q}_r = \frac{2Q}{\omega_0^2 Hnm}, \bar{P}_\theta = \frac{2\lambda p_r}{\omega_0^2 \bar{r} Hnm}, \bar{Q}_\theta = \frac{2Q}{\omega_0^2 \bar{r}^2 H^2 nm}, \bar{P}_z = \frac{2\lambda p_z}{\omega_0^2 Hnm} \text{ e } \bar{Q}_z = \frac{2Q}{\omega_0^2 Hnm},$$

obtêm-se o sistema de equações de movimento na forma adimensional:

$$\bar{r}_{,\tau\tau} - \bar{r}\theta_{,\tau} + \bar{r}(\bar{r}^2 + \bar{z}^2 - 1 + \delta^2) - \bar{P}_r \cos(\theta - \theta_p) = \bar{Q}_r. \quad (2.25)$$

$$\theta_{,\tau\tau} + \frac{2\bar{r}_{,\tau}}{\bar{r}}\theta_{,\tau} + \bar{P}_\theta \sin(\theta - \theta_p) = \bar{Q}_\theta. \quad (2.26)$$

$$\bar{z}_{,\tau\tau} + \bar{z}(\bar{r}^2 + \bar{z}^2 - 1) - \bar{P}_z = \bar{Q}_z. \quad (2.27)$$

Por fim muda-se a origem do sistema para o nó superior da treliça e considera-se o deslocamento positivo para baixo, facilitando a análise e interpretação dos resultados, adotando a relação:

$$\bar{z} = w - 1. \quad (2.28)$$

Abaixo são mostradas as equações de movimento não lineares com a transformação realizada na Eq. (2.28):

$$\bar{r}_{,\tau\tau} - \bar{r}\theta_{,\tau} + \bar{r}(\bar{r}^2 + w^2 - 2w + \delta^2) - \bar{P}_r \cos(\theta - \theta_p) = \bar{Q}_r. \quad (2.29)$$

$$\theta_{,\tau\tau} + \frac{2\bar{r}_{,\tau}}{\bar{r}}\theta_{,\tau} + \bar{P}_\theta \sin(\theta - \theta_p) = \bar{Q}_\theta. \quad (2.30)$$

$$w_{,\tau\tau} + (w^3 - 3w^2 + 2w + w\bar{r}^2 - \bar{r}^2) - \bar{P}_z = \bar{Q}_z. \quad (2.31)$$

As equações de movimento acima têm como referência a configuração original indeformada do sistema. Para transferir a origem para uma posição de equilíbrio, calcula-se para um dado nível de carregamento estático as três raízes  $w_i$  relativas às duas posições de equilíbrio estável e a uma posição de equilíbrio instável, a menor raiz corresponde à posição de equilíbrio pré-crítica cuja estabilidade se deseja preservar.

Desta forma, para que as equações de movimento tenham como origem uma dada posição de equilíbrio  $w_i$ , faz-se a transferência da origem para um ponto  $i$ , ou seja:

$$w_T = w(t) + w_i. \quad (2.32)$$

Então, substituindo a Eq. (2.32) nas equações de movimento, tem-se:

$$\bar{r}_{,\tau\tau} - \bar{r}\theta_{,\tau} + \bar{r}(\bar{r}^2 + w_i^2 + 2w_i w + w^2 - 2w_i - 2w + \delta^2) - \bar{P}_r \cos(\theta - \theta_p) = \bar{Q}_r. \quad (2.33)$$

$$\theta_{,\tau\tau} + \frac{2\bar{r}_{,\tau}}{\bar{r}}\theta_{,\tau} + \bar{P}_\theta \sin(\theta - \theta_p) = \bar{Q}_\theta. \quad (2.34)$$

$$w_{,\tau\tau} + w(3w_i^2 - 6w_i + 2 + \bar{r}^2) + w^2(3w_i - 3) + w^3 = \bar{Q}_z. \quad (2.35)$$